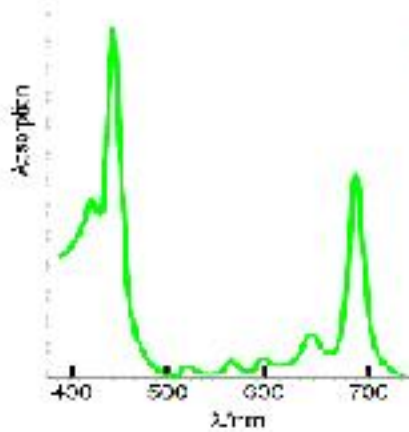


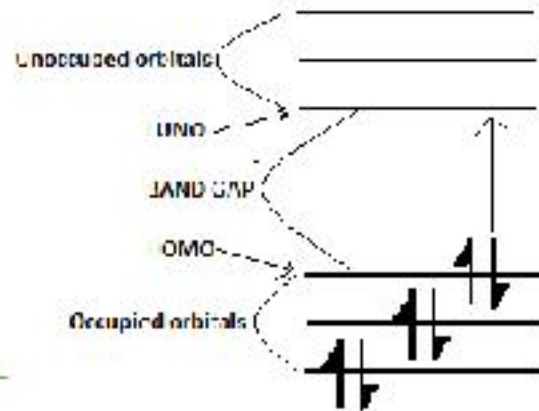
## الانتقالات الإلكترونية الجزيئية Molecular electronic transitions

### الانتقالات الإلكترونية Electronic transitions

الطاقة اللازمة لإحداث تغير في التوزيع الإلكتروني Electronic distribution للجزيئات يكون في حدود  $1eV$  والذي يكافئ  $8000cm^{-1}$  أو  $10kJ/mol$ . لذا فإن الفوتون الممتص أو المنبعث يجب أن تكون طاقة في حدود المنطقة المرئية Visible region اطوالمنطقة فوق البنفسجية Ultraviolet. في بعض الحالات يحدث إعادة لتوزيع الإلكترونات بسبب تحلل الجزيئات. عند حدوث انتقال إلكتروني في الجزيئة، انتقال إلكترون من أعلى مستوي ممتلئ في حزمة التكافؤ إلى أوطى مستوي فارغ في حزمة التوصيل وكما في الشكل (1)، فإن التوزيع الإلكتروني سيتغير لذا فإن النواة في الجزيئة ستعرض لعدة قوى بسبب الاختلاف في التوزيع الإلكتروني وبذلك فإن النواة ستستجيب لهذا على شكل اهتزاز. التركيب الاهتزازي Vibrational structure للانتقالات الإلكترونية يمكن تحليله لنماذج غازية، في الطور الغازي Gas phase، ولكن في حالة السوائل والمواد الصلبة فإن خطوط الانتقال ستتداخل سوياً محدثة اتساعاً طيفياً Spectral broad، لاحظ للشكل (2).



الشكل (2)

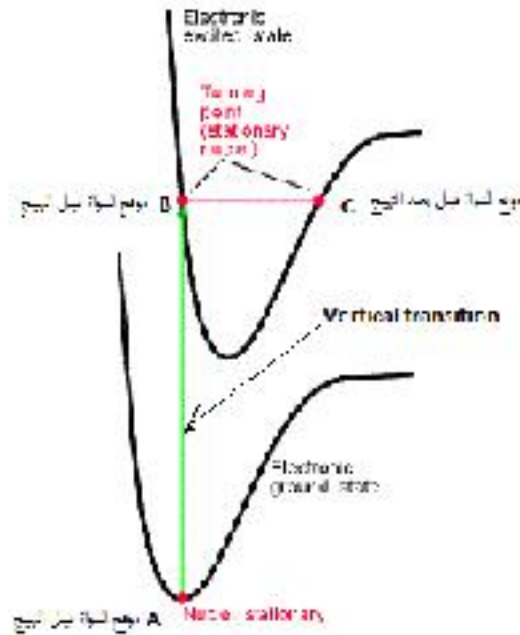


الشكل (1)

### مبدأ فرانك كوندون Franck-Condon principle

التركيب الاهتزازي للانتقالات الإلكترونية يمكن أن يوضح وفق مبدأ فرانك كوندون حيث بسبب كتلة النواة الكبيرة مقارنة مع كتلة الإلكترون فإن الانتقالات الإلكترونية ستحدث بسرعة أكبر من سرعة استجابة النواة لهذا الانتقال. ونتيجة للانتقال فإن الكثافة الإلكترونية ستكون بسرعة في أماكن جديدة وستقل في أماكن أخرى، أي

لأن  $d\rho(r,t) = \frac{\partial \rho(r,t)}{\partial r} dr + \frac{\partial \rho(r,t)}{\partial t} dt$  . النواة في الحالة الابتدائية، حالة الجزيئة قبل حدوث التهيج الإلكتروني، ستعرض لمجال قوى جديدة، حيث ستمتجيب لهذه القوى عن طريق الاهتزاز حول الموقع الأصلي. نقطة الاتزان قبل التهيج A ستصبح نقطة انطلاق في الحالة النهائية (حالة التهيج) باتجاه نقطة الاتزان الجديدة، لاحظ الشكل (3).

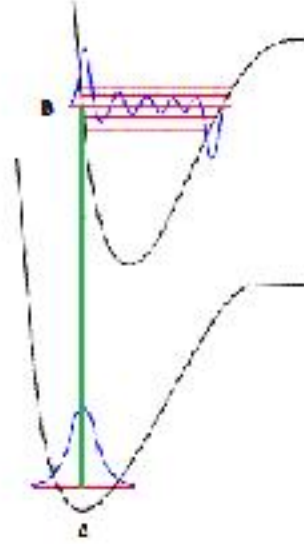


الشكل (3)

ووفق مبدأ فرانك كوندون فإن أعظم شدة انتقال اهتزازي Vibronic transition تكون عن طريق انتقال عمودي من الحالة الأرضية A إلى الحالة الاهتزازية (حالة التهيج الأولى) مباشرة. أي الحالة التي تقابل الحالة الأرضية حيث مركز الجزيئة الإلكتروني قبل التهيج. أما الانتقالات الأخرى (لمستويات اهتزازية) تحدث ولكن بشدة أقل.

#### توضيح:

من الناحية الكمية لمبدأ فرانك كوندون فإن الجزيئة قبل الامتصاص تكون في الحالة الأرضية Ground state, أو على حالة اهتزاز، والتي تمثل أعلى حالة إلكترونية. حيث أن أعظم احتمالية لتواجد النواة عند مسافة الاتزان  $R_e$  وعند حدوث انتقال إلى حالة تهيج جديدة فإن النواة وخلال الانتقال إلى الحالة الجديدة لا تغير موقعها لذا يسمى هذا الانتقال بالانتقال المباشر أي أن إحداثيات النواة ثابتة خلال الانتقال. لاحظ الشكل (4). بعبارة أخرى انتقال عمودي Vertical transition أو على شكل خط عمودي Vertical line والذي يستخدم لتعريف الانتقال الإلكتروني والذي يحدث دون أي تغير في الهندسة الفراغية للنواة Nuclear geometry.



الشكل (4)

الانتقال العمودي سيجر أو سيقطع عدد من المستويات الاهتزازية للحالة الالكترونية العليا. المستوي الذي يوشر بعلامة B سيمثل المستوي الذي يقابل أعظم احتمالية لتواجد النواة ضمن نفس المسافة  $R_e$  والتي تكون الدالة الموجية الاهتزازية فيها تمتلك أعظم سعة. أيضا هنالك مستويات قريبة من المستوي B السابق ولها احتماليان مقارنة لـ  $R_e$ . لذا فانه يحدث انتقالات إلى تلك المستويات الاهتزازية في تلك المنطقة العليا ( لكن أعظم شدة تكون للحالة التي لها دالة اهتزازية قمتها اقرب إلى  $R_e$  .

التركيب الاهتزازي اللطيف يعتمد على الموقع الأفقي Horizontal position النسبي لمنحني الطاقة الكامنة. سيزاح منحني الطاقة الكامنة العلوي بصورة أفقية عن المنحني السفلي لان طول الأصرة في حالة التهييج الالكتروني تكون اكبر أو بعبارة أخرى أكثر غير متأصرة Anti-bonding مقارنة مع الحالة الأرضية التي تكون متأصرة Bonding.

#### مبدأ فرانك كوندون Franck-Condon factor

الشكل الكمي لمبدأ فرانك كوندون يعتمد على عزم ثنائي قطب الانتقال Transition dipole moment:

$$\mu_{if} = \langle f | \mu | i \rangle$$

حيث  $|i\rangle$  تمثل الحالة الابتدائية و  $|f\rangle$  تمثل الحالة النهائية. مؤثر عزم ثنائي القطب يمثل المجموع على كل الانوية والالكترونات في الجزيئة.

$$\mu = -e \sum_{i=1} r_i + e \sum_{j=1} Z_j R_j$$

وان شدة الانتقال تتناسب مع  $|\mu_{if}|^2$ . جميع مستويات الجزيئة لها جزء الكتروني  $\langle \epsilon |$  وجزء اهتزازي  $\langle \nu |$  لذا فضمن تقريب بورن ايبنهايمر Born-Oppenheimer approximation، الذي يعتبر أن سرعة الالكترونات

أسرع بكثير من سرعة الانوية اي يمكن فصل الدالة الي دالة الكترونية ودالة اهتزازية  $\langle \epsilon | \nu \rangle = \langle \epsilon | \nu \rangle$  . لذا فان عزم ثنائي القطب للانتقال الالكتروني سيكون:

$$\mu = \langle \epsilon_f | \nu_f | -e \sum_{i=1}^N r_i + e \sum_{i=1}^N Z_i R_i | \epsilon_i | \nu_i \rangle$$

$$\mu = -e \sum_{i=1}^N \langle \epsilon_f | r_i | \epsilon_i \rangle \langle \nu_f | \nu_i \rangle + e \sum_{i=1}^N Z_i \langle \epsilon_f | \epsilon_i \rangle \langle \nu_f | R_i | \nu_i \rangle$$

لحد الثاني سيساوي صفر لان  $\langle \epsilon_f | \epsilon_i \rangle = \delta_{fi} = 0$  لأنه يمثل حالتين مختلفتين (خواص التعامد). لذا

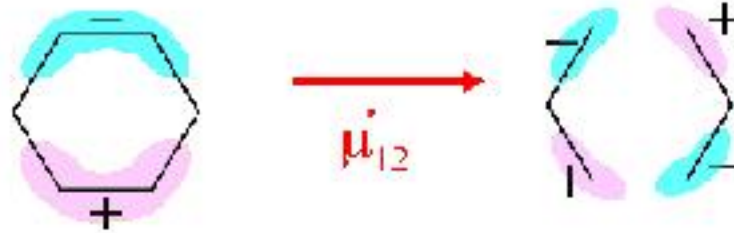
$$\mu = -e \sum_{i=1}^N \langle \epsilon_f | r_i | \epsilon_i \rangle \langle \nu_f | \nu_i \rangle$$

$$\mu = \mu_{\text{osc}} S(\nu_f, \nu_i)$$

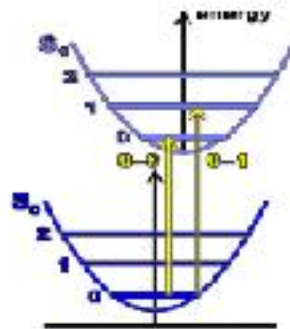
$$S(\nu_f, \nu_i) = \langle \nu_f | \nu_i \rangle$$

$$\mu_{\text{osc}} = -e \sum_{i=1}^N \langle \epsilon_f | r_i | \epsilon_i \rangle$$

عنصر المصفوفة  $\mu_{\text{osc}}$  هو عزم ثنائي الانتقال الذي يظهر من إعادة التوزيع الالكتروني. لاحظ الشكل (5) . أما  $S(\nu_f, \nu_i)$  فيمثل عامل فرانك كوندون للتداخل بين حالة الاهتزاز  $\langle \nu_i |$  (الحالة الالكترونية الابتدائية للجزيئة) وحالة الاهتزاز  $\langle \nu_f |$  (الحالة الالكترونية النهائية أو التهيج الأولى). بما أن شدة الانتقال تتناسب مع مربع عزم ثنائي القطب للانتقال  $|\mu_{\text{osc}}|^2$  لذا فان العامل سيعرف على أنه عامل فرانك كوندون للانتقال.



الشكل (5)



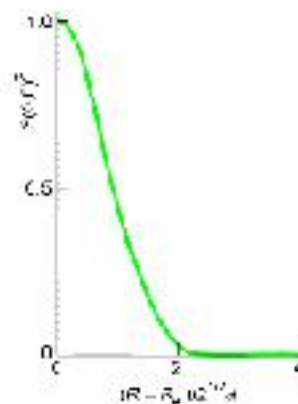
مثال (1) إذا افترضنا حالتين أرضيتين لهما نفس ثابت القوة. لكن أطوال الأوصار في الحالتين تختلف بـ  $\Delta R$  . جد علاقة لشدة نسبية الانتقال من  $0 \leftarrow 0$  كدالة لـ  $\Delta R$  .

الحل:

باستخدام دوال توافقية وبالشكل التالي

$$\begin{aligned} \psi_0(x) &= \left( \frac{\alpha}{\sqrt{\pi}} \right)^{1/2} \exp\left[ -\frac{\alpha^2 x^2}{2} \right] \\ \psi_0(x + \Delta R) &= \left( \frac{\alpha}{\sqrt{\pi}} \right)^{1/2} \exp\left[ -\frac{\alpha^2 (x + \Delta R)^2}{2} \right] \\ \alpha &= \left( \frac{\hbar^2}{mk} \right)^{1/4} \\ S(0,0) &= \langle 0|0 \rangle = \int_{-\infty}^{\infty} \psi_0(x) \psi_0(x + \Delta R) dx \\ S(0,0) &= \frac{\alpha}{\sqrt{\pi}} \int_{-\infty}^{\infty} \exp\left[ -\frac{\alpha^2 x^2}{2} - \frac{\alpha^2 (x + \Delta R)^2}{2} \right] dx \\ S(0,0) &= \frac{\alpha}{\sqrt{\pi}} \exp\left( -\frac{\alpha^2 \Delta R^2}{2} \right) \int_{-\infty}^{\infty} \exp\left[ -\alpha^2 \left( x + \frac{\Delta R}{2} \right)^2 \right] dx \\ \therefore \int_{-\infty}^{\infty} \exp(-\alpha x^2) dx &= \sqrt{\frac{\pi}{\alpha}} \\ \therefore |S(0,0)|^2 &= \exp\left[ -\frac{\alpha \Delta R^2}{2} \right] \end{aligned}$$

الشكل (6) يوضح العلاقة بين  $\Delta R$  و  $|S(0,0)|^2$  حيث نلاحظ أن أعظم قيمة تكون عندما  $\Delta R \leftarrow 0$ .



الشكل (6)

إذا كان لجزيئة  $\text{Br}^2$   $R_0 = 228 \text{ pm}$  وهذالك حالة عليا لها  $R_0' = 266 \text{ pm}$ . فعندما يكون العدد الموجي الاهتزازي يساوي  $250 \text{ cm}^{-1}$  فعندها يكون  $S(0,0)^2 = 5.1 \times 10^{-10}$ . لذا فان شدة الانتقال  $0 \rightarrow 0$  تكون فقط  $5.1 \times 10^{-10}$  وثبعاً لذلك ماذا ننتج من منحنيات الجهد مباشرة واحداً فرق الأخر؟

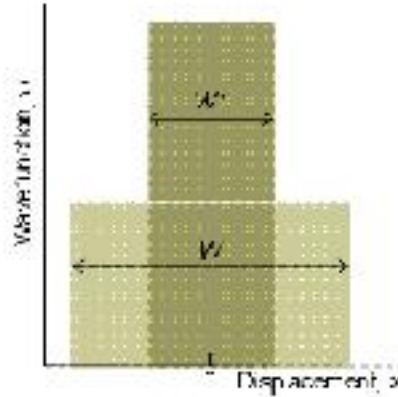


(تمرين) اعد المثال السابق عندما تكون الحالتان مختلفتان أيضاً بثابت القوة.

(تمرين) اثبت أن مجموع معاملات فرانك كوندون للانتقالات من الحالة  $U$  إلى الحالة  $U'$  تساوي واحد.

$$\sum_{U'} |S(U', U)|^2 = 1$$

(تمرين) إذا افترضنا أن الدوال الموجية الاهتزازية قريبة على شكل دوال مستطيلة ويعرض  $W$  و  $W'$  ومتمركزة حول نقطة توازن الأوامر، لاحظ الشكل (7). جد عامل فرانك كوندون عندما تكون المراكز متطابقة و أن  $W'(W)$ .

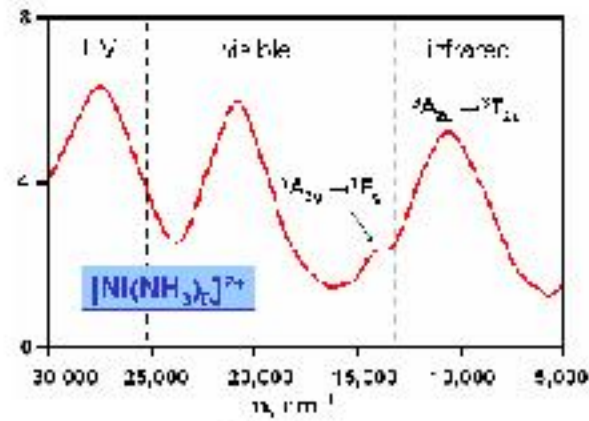


الشكل (7)

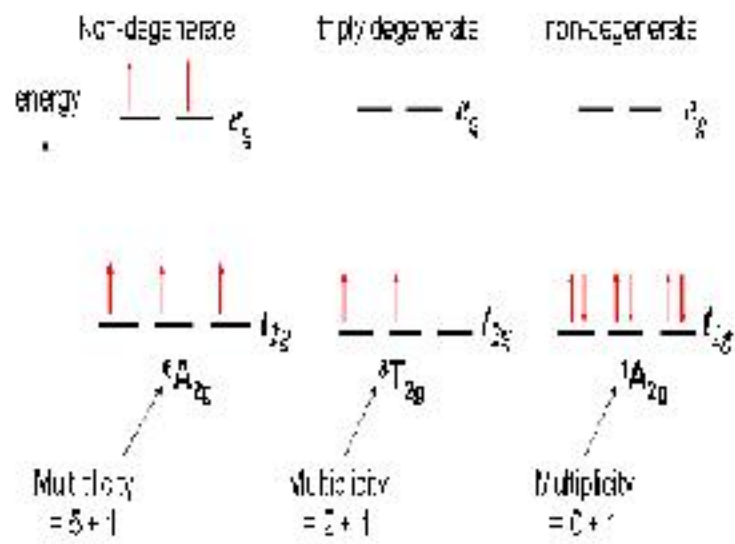
(تمرين) جد عامل فرانك كوندون للانتقال من الحالة الأرضية إلى الحالة المثيجة الأولى  $0 \leftarrow 1$  مفترضاً أن ثابت القوة لا يتغير أثناء الانتقال.

#### الانتقالات $d \leftarrow d$ $d \leftarrow d$ transitions

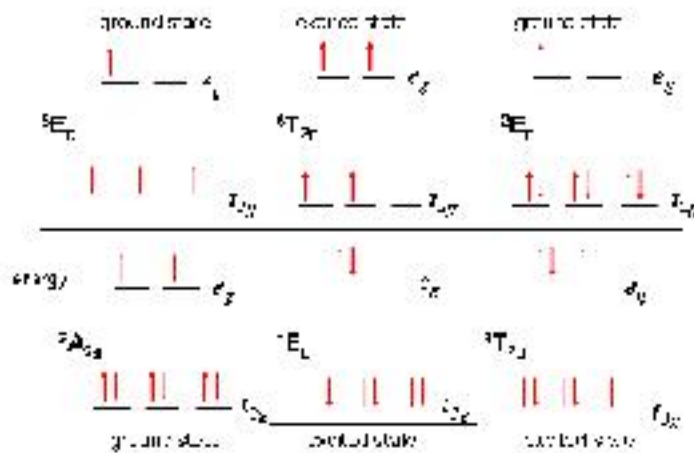
تصنف جميع مدارات  $d$  الخمسة كميّاً على أنها منحلة. في معقدات المعادن Metal complex حيث أن الذرة لا تكون كروية الشكل. لذا فإن المدارات الخمسة لـ  $d$  لا تكون جميعها منحلة بل أن الإلكترونات ممكن أن تمتص أو تبعث طاقة عن طريق الانتقال بين هذه المستويات. الشكل (8) يبين طيف لجزئية  $[Ni(NH_3)_6]^{2+}$ . حيث نلاحظ وجود انتقالين من نوع  $d \leftarrow d$  بشدة مختلفة. الرموز  $T, E, A$  تشير إلى حالة غير منحلة Non-degenerate state وحالة ثنائية الانحلال Doubly degenerate وحالة ثلاثية الانحلال Triply degenerate. أما الأرقام الواقعة على الجهة العلوية اليسرى من الحرف  $T, E, A$  فتعثل عدد الإلكترونات الغير ثنائية مضاف إليها العدد واحد. أما الرمز  $g$  يشير إلى  $even - parity$ . لاحظ الشكل (9). بعض الحالات الأرضية والمثيجة وعدد الكترونات مختلف مبيئة في الشكل (10) وكذلك الانتقالين  ${}^3T_{2g} \leftarrow {}^3A_{2g}$  و  ${}^1E_g \leftarrow {}^1A_{2g}$  موضحين في الشكل (11) على التوالي.



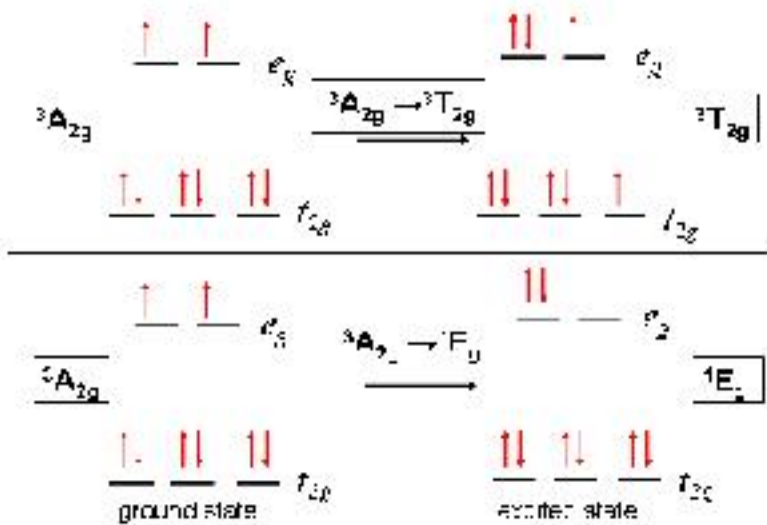
الشكل (8)



الشكل (9)



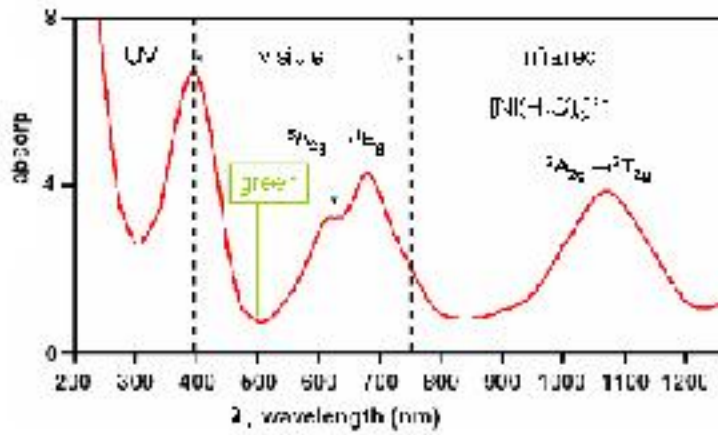
الشكل (10)



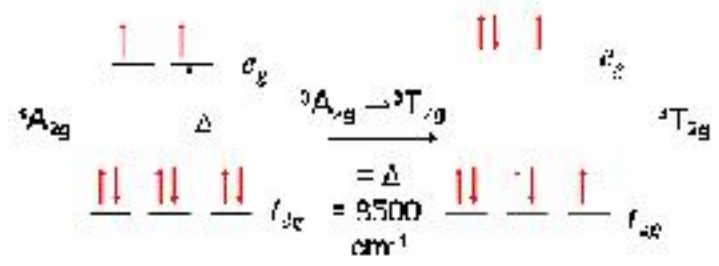
الشكل (11)

في هذه المعقدات فإن المدارات الخمسة للذرة المركزية ستفصل لتشكل حالتين كميتين فقط وإن الفرق بينهما يسمى بأزواج متر فصل المجال الليكائدي Ligand-field splitting parameter. لأن  $\Delta$  كبيرة فإن هذه المعقدات مستجيبة للمنطقة المرئية. لذا فإن هذا النوع من الانتقالات يكون المسؤول عن عدد من الألوان التي تميز d-metal-complexes. لمعقد مثل  $[\text{Ti}(\text{OH}_2)_6]^{3+}$  فإن طيف الامتصاص يكون عند طول موجي  $500\text{nm}$  والذي يقابل طاقة  $E \approx 2.5\text{eV}$ . المعقد  $[\text{Ni}(\text{H}_2\text{O})_6]^{2+}$  يظهر اللون الاخضر لانه يمتص الطول الموجي  $500\text{nm}$ . حيث نلاحظ ان هنالك حزمتي امتصاص الاولى تمثل الانتقال  ${}^3T_{2g} \leftarrow {}^3A_{2g}$  والثانية  ${}^1E_g \leftarrow {}^3A_{2g}$ . الحزمة عند  $\lambda = 1180\text{nm}$  والخاصة بالانتقال  ${}^3T_{2g} \leftarrow {}^3A_{2g}$  ستمثل  $\Delta$  للمعقد والموضحة في الشكل (13). يمكن ملاحظة الحزمة الضعيفة عند  $620\text{nm}$  والتي تقابل الانتقال  ${}^1E_g \leftarrow {}^3A_{2g}$ . الالكترون التنهيج يتحرك ضمن مستوى  $e_g$  بحيث انه لا يحتاج طاقة  $\Delta$ . بل سيعتمد على الاختلاف في طاقة برم الأزواج Spin-pairing energy. لاحظ الشكل (14). القمتين عند اعظم طاقة تقابل الانتقال  ${}^3T_{2g} \leftarrow {}^3A_{2g}$  والذي يتطلب اختلاف في الاعداد الكمية المغناطيسية لمدارات  $d$ . والتي تمثل بـ  ${}^3T_{2g}(F) \leftarrow {}^3A_{2g}$  و  ${}^3T_{2g}(P) \leftarrow {}^3A_{2g}$  والمبين في الشكل (15).

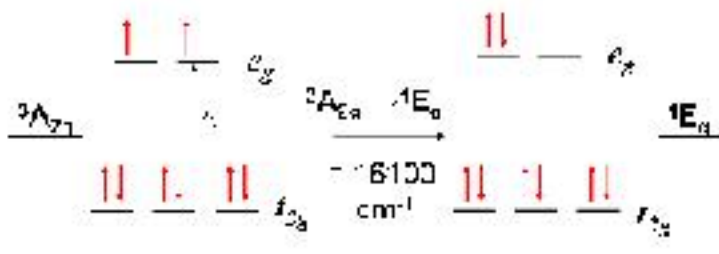




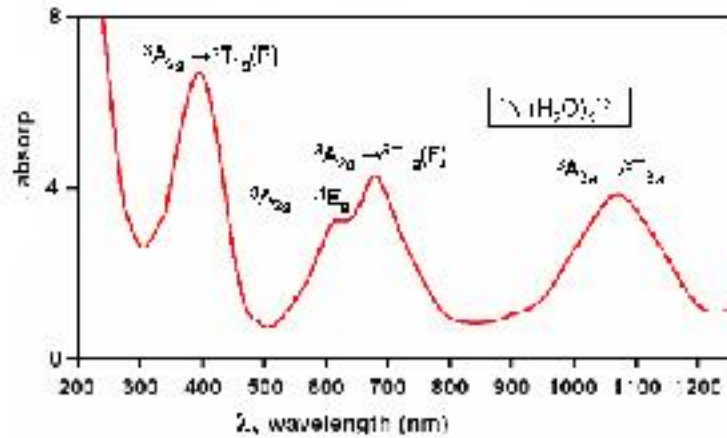
الشكل (12)



الشكل (13)



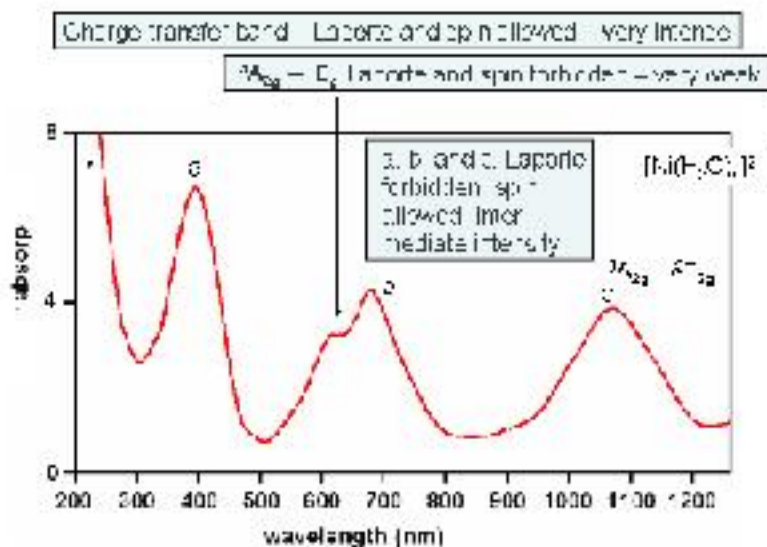
الشكل (14)



الشكل (15)

### قواعد الاختيار للانتقالات الإلكترونية Selection rules for electronic transitions

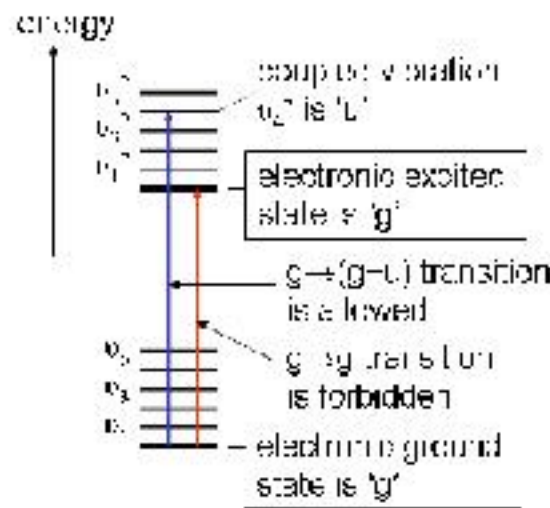
هناك ثلاث مستويات لشدة الحزم التي لاحظناها في طيف معقدات المعادن الأيونية. هذه المستويات من الشدة تتحكم بها قاعدتين الأولى قاعدة اختيار لابورت Laporte selection rule الضوء لكي يفاعل مع الجزيئة ويمتص يجب ان يحدث تغير في عزم ثنائي القطب، وان الانتقال الذي لا يرافقه تغير في الزوجية يكون محظور. أي ان جميع الانتقالات ضمن القشرة  $d$ ، مثل  $3A_{2g} \leftarrow 3A_{2g}$  محظورة لعدم تغير الزوجية. ل  $d$  فان حزم انتقال الشحنة والمتمثلة بالانتقالات  $d \rightarrow p$  و  $p \rightarrow d$  والتي تحقق قاعدة لابورت ستكون أكثر شدة. قاعدة اختيار اليرم Spin selection rule الانتقالات التي تتضمن تغير في اليرم او عدد الإلكترونات الغير زوجية ستكون مسموحة. وهذا يبين لماذا الانتقالات داخل القشرة  $d$ ، مثل  $3A_{2g} \leftarrow 1E_g$  التي تترافق مع تغير اليرم اقل شدة من من الانتقالات مثل  $3A_{2g} \leftarrow 3T_{2g}$ ، والشكل (16) يبين الانتقالات المسموحة والمحظورة وفق قواعد الاختيار.



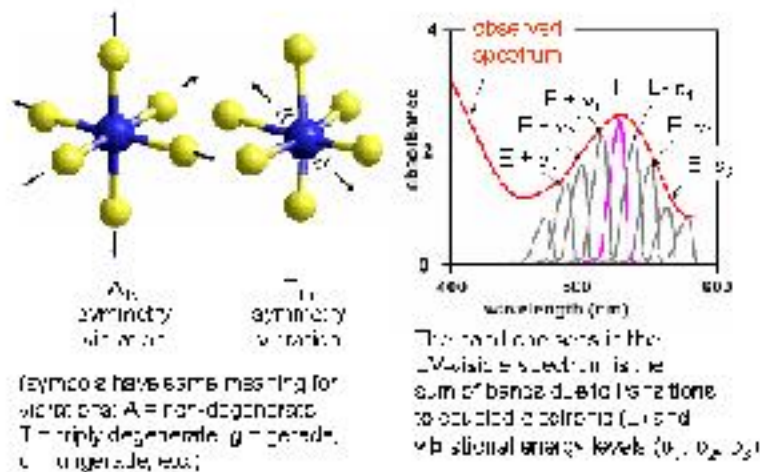
الشكل (16)

### Vibronic transitions الغايبرونيك

المشكلة الرئيسية في تفسير الطيف المرئي لـ Octahedral complex أن الانتقالات  $d \leftarrow d$  لهذه المعقدات تكون غير مسموحة Forbidden. حسب قواعد الاختيار لـ Laporte والتي تشير إلى أن الانتقالات المسموحة فقط التي يرافقها تغير في الزوجية Parity. لذا فإن الانتقال يكون مسموح فقط عندما يرافقه تغير في مركز التناظر وذلك يحدث اهتزاز غير متناظر. الانتقالات الإلكترونية تزود مع الاهتزازات ذات التناظرات المختلفة وهذه الحالة تؤدي إلى عكس الزوجية للحالات الإلكترونية والتي بدورها ستحقق قاعدة لامبورت. لاحظ الشكل (17). الانتقالات الإلكترونية، كما لاحظناها في معقدات النيكل، دائما فيها اتساع طيفي كبير بسبب أنها متزاوجة مع الاهتزازات. الانتقالات من الحالة الأرضية زانداً عدة اهتزازات  $(\nu_3, \nu_2, \nu_1)$  إلى الحالات المثييج زانداً  $(\nu_3, \nu_2, \nu_1)$  بحيث أن الحزمة الإلكترونية عملياً تتركب من انتقالات إلكترونية زانداً الاهتزازية. لاحظ الشكل (18).



الشكل (17)



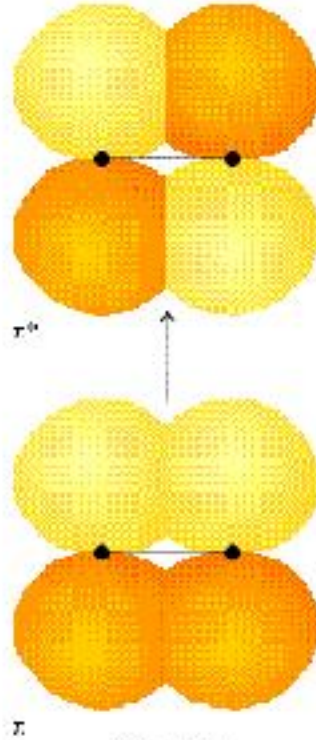
الشكل (18)

### انتقالات نقل شحنة Charge-transfer transitions

المعقد ربما يمتص إشعاع كنتيجة لانتقال إلكترون من الليكاندات إلى مدارات  $d$  التابعة للذرة المركزية أو العكس. في هذه الحالة فإن انتقالات نقل الشحنة تتمثل حركة الإلكترون خلال مسافة كبيرة والذي سيؤدي إلى زيادة في عزم ثنائي القطب للانتقال. ولذا فإن الانتقال سيكون حاد(بشدة كبيرة). هذا النمط من النشاط اللوني يلاحظ في ايون البرمكينات  $MnO_4^-$  ذات اللون البنفسجي والذي يكون بسبب الامتصاص القوي وضمن المدى الطيفي  $420 - 700nm$ . في هذا الايون فإن الإلكترون سيغادر من المدارات المقيد بصورة كبيرة بليكاندات ذرة الأكسجين إلى مدارات مقيد بصورة كبيرة لذرة Mn. هذا الحالة تعرف بـ Ligand-to- metal charge-transfer transitions. كذلك عند انتقال إلكترون  $d$  إلى المدارات  $\pi$  الغير متأصرة للليكاندات العطرية Aromatic ligand.

### انتقالات $\pi \leftarrow \pi^*$ و $n \leftarrow \pi^*$ Transitions

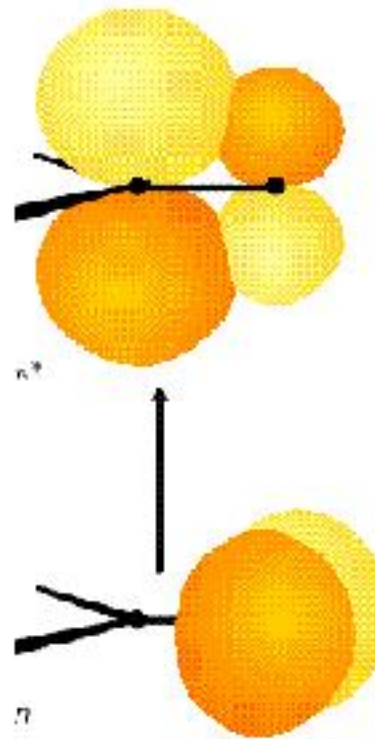
عند حدوث عملية امتصاص بواسطة الأصرة المزدوجة  $C = C$  سيتهيج إلكترون  $\pi$  وينتقل إلى المدار الغير متأصر  $\pi^*$ . كما في الشكل (19).



فإن هذا الانتقال  $\pi \leftarrow \pi^*$  تكون طاقة بحدود  $7eV$  للأصرة المزدوجة الغير مشبعة Unconjugated double bond والتي ستقابل امتصاص عند الطول الموجي  $180nm$  في المنطقة فوق البنفسجية Ultraviolet. عندما تكون هذه الأصرة المزدوجة جزء من سلسلة متبادلة Conjugated chain فإن طاقات المدارات الجزيئية ستتقارب أكثر فأكثر وأن الانتقال  $\pi \leftarrow \pi^*$  سيتحرك باتجاه المنطقة المرئية من الطيف. الانتقال المسؤول عن الامتصاص في مركبات الكاربونيل Carbonyl compounds هو وجود أزواج الكترونية على ذرة الأكسجين. وحسب نظرية المدارات الجزيئية فإن هذه الأزواج الإلكتروني سيحدد



بصورة كبيرة لذرة واحدة. وان احد هذه الالكترونات ربما سيتهيج إلى المدار  $\pi^*$  الفارغ لمجموعة الكاربونيل والذي يمثل انتقال من نوع  $n \rightarrow \pi^*$ . هذا النوع من الانتقالات يكون بحدود  $4eV$  أي بطول موجي  $290nm$  وكما في الشكل (20).

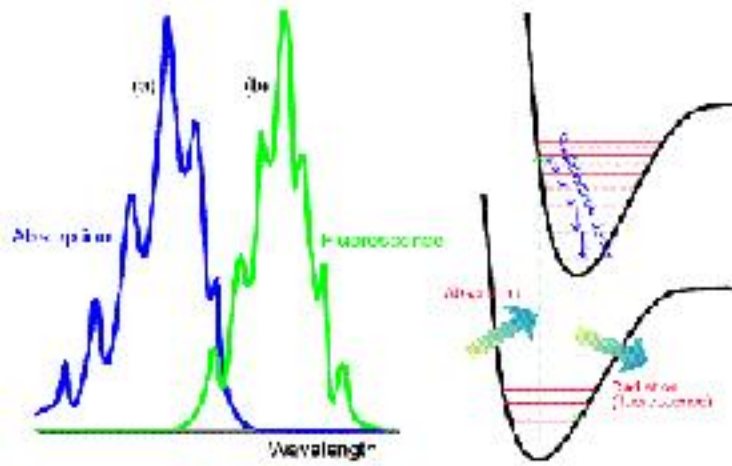


الشكل (20)

#### عملية الفلوريسنز The fluorescence process

عمليات الانحلال الإشعاعي هي الطريقة التي تتخلص بها الجزيئات من طاقة التهييج على شكل فوتون. عمليات الانحلال الغير إشعاعية تكون هي السائدة في الغالب، حيث أن طاقة التهييج تتحول إلى اهتزاز و دوران والى الجزيئات المحيطة بها. الشكل (21) يبين تعاقب المراحل اللازمة في عملية الفلوريسنز. حيث أن الامتصاص الابتدائي ينقل الجزيئة إلى حالة اليكترونية متهيجة Excited electronic state وان طيف الامتصاص مبين في الحالة a في الشكل(22). الجزيئة المتهيجة تبدأ بالتصادم مع الجزيئات المحيطة بها وبالتالي تعطى طاقة بصورة غير إشعاعية وتبدأ تدريجيا بنزول المستويات الاهتزازية وصولاً إلى أوطى مستوى اهتزازي لحالة التهييج اليكترونية. في حالة عدم قدرة الجزيئات الأخرى على استلام الطاقة والتي تعمل نزول الجزيئة المتهيجة إلى حالتها الأرضية فان ذلك سيؤدي إلى حدوث انبعاث تلقائي Spontaneous emission للطاقة المتبقية باتجاه الحالة الأرضية دون الحاجة الى انتقال الطاقة إلى الجزيئات المجاورة لها. إن هذا الانبعاث التلقائي سيكون عمودي باتجاه الحالة الأرضية ووفق مبدأ فرانك كوندن. كما في الحالة b في الشكل(22).





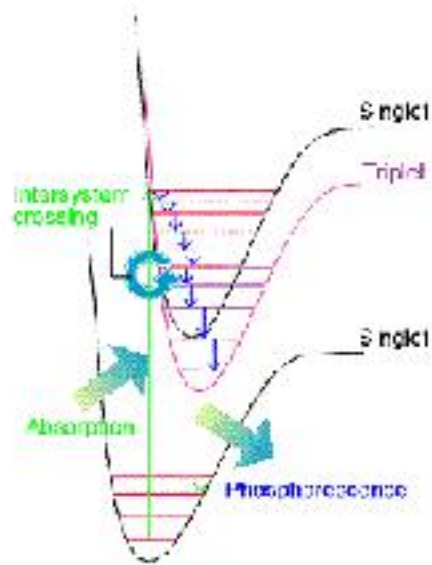
الشكل (22)

الشكل (21)

الجزئية المنهيجة تبدأ بالتصادم مع الجزيئات المحيطة بها وبالتالي تعطى طاقة بصورة غير إشعاعية وتبدأ تدريجياً بنزول المستويات الاهتزازية وصولاً إلى أعلى مستوى اهتزازي لحالة التهيج الإلكترونية. في حالة عدم قدرة الجزيئات الأخرى على استلام الطاقة والتي تعمل بنزول الجزيئة المنهيجة إلى حالتها الأرضية فإن ذلك سيؤدي إلى حدوث انبعاث تلقائي Spontaneous emission للطاقة المنهيجة باتجاه الحالة الأرضية دون الحاجة إلى انتقال الطاقة إلى الجزيئات المجاورة لها. إن هذا الانبعاث التلقائي سيكون عمودي باتجاه الحالة الأرضية ووفق مبدأ فرانك-كوندن. كما في الشكل (23).

#### فسفوريسنز Phosphorescence

الشكل التالي يبين تعاقب المراحل اللازمة لحدوث عملية الفسفوريسنز للجزيئة عندما تكون في الحالة الأرضية المنفردة Singlet ground state. الخطوات الأولى مشابهة إلى عملي الفلوريسنز ولكن وجود حالة تهيج ثلاثية Triplet excited state يلعب دور حيث أن الامتصاص الابتدائي ينقل الجزيئة إلى الحالة الإلكترونية المنهيجة Excited electronic state وان طيف الامتصاص مبين في a الشكل.



### Dissociation and pre-dissociation

